

## 超空洞ジェットフラップ翼の 揚力係数

大阪府大 工 木 田 輝 彦

### 1. まえがき

ジェットフラップは高揚力装置の一種で、通常翼においては想像もできないほど大きな揚力が得られる。このことが離着陸(STOL)性能の向上に有効であるため、これまで多くの研究がなされてきた。二次元ジェットフラップの理論は1956年 Spence<sup>(1)</sup> によって薄翼理論の精度で完成した。三次元問題については二次元理論を拡張した Maskell<sup>(2)</sup> や Tokuda<sup>(3)</sup> 等の研究がある。このジェットフラップの高揚力性能に注目し、超空洞水中翼への応用を目的とした研究が1964年 Ho<sup>(4)</sup> によって始められ、その後実験・理論研究が行われている。特に最近の大場<sup>(5)</sup> の研究は、ジェットフラップが非規定特性の改善に役立つ上に、翼形強度の向上にも有益であることを示した。ここでは、薄肉ジェット理論を用いて超空洞ジェットフラップ翼の線形解析を行う。まず非線形理論を導き、翼

迎角とジェット噴射角を微少量と考え、これらに対する線形理論を導く。この線形理論によって導かれた線形微積分方程式をジェット運動量係数  $C_j$  の小さい場合と大きい場合と擾動法によって解くことを試みる。

2. 基礎式

図1は物理面である。不連続流線  $AD_\infty$  は翼前縁  $A$  から剥離し、ジェットは後縁  $B$  から噴射角  $\epsilon$  で噴出される。この形状を  $y_j(x)$  で示す。このジェット膜の一部を拡大したのが図2である。 $R$  はジェット膜の曲率半径で、 $\delta$  はその厚みである。 $q_j$  は一様流速  $U_0$  で無次元化されたジェットの外部流れのジェット膜下端の流速である。 $\rho, p$  は密度、圧力で添字  $0, j$  はジェット膜外部、内部の流れを示す。ジェット膜内部の流れは渦無しと仮定し、ジェット膜の両端でジェット内・外部流れにベルヌーイの法則を用いて整理すると

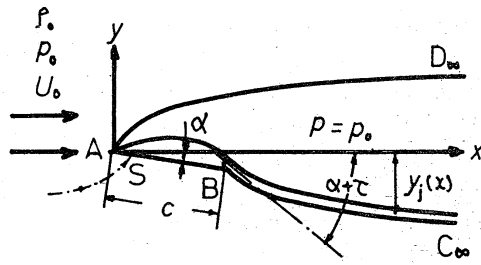


図1. 物理面

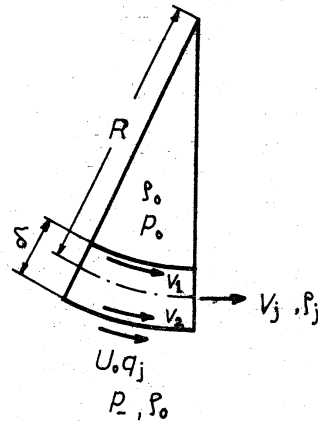


図2. ジェット膜

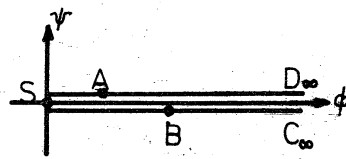


図3. W-面

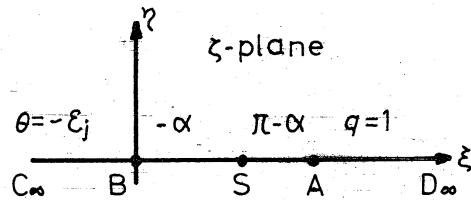


図4. z-面

$$1 - q_j^2 = \frac{c C_j}{R}, \quad C_j = \frac{J}{\frac{1}{2} \rho_0 U_0^2 c}, \quad J = \delta \rho_j V_j^2 \quad (1)$$

ただし  $V_j = (U_1 + U_2)/2$  で、 $c$  は翼弦長さである。ここで、 $V_j \gg U_0$  とし、 $J = \text{一定}$  とすれば、 $\delta \rightarrow 0$  となる (文献(1))。

図3は  $w (= \phi + i\psi)$  面、図4は補助(3)面である。 $w$  と3は  $w = B(z-1)^2$ ,  $B$  は常数。 (2)

$$w(z) \equiv \log \left[ U_0 / \frac{dw}{dz} \right] \equiv -\log q + i\theta, \quad \varepsilon_j(z) \equiv -\tan^{-1} y'_j(x) \Big|_{x=x(z)} \quad (3)$$

とすれば、3面の実軸上の境界条件は図4のようになる。従って Riemann-Hilbert の関係より

$$\frac{w(z)}{H(z)} = \frac{1}{\pi} \int_{-\infty}^{\infty} \frac{\text{Im} \left[ \frac{w(\zeta)}{H(\zeta)} \right]_{\zeta=\nu} d\nu}{\nu - z}, \quad H(z) \equiv i\sqrt{z-a}, \quad (4)$$

ただし  $\text{Im}[\ ]$  は  $[\ ]$  の虚部。また上式では  $z \rightarrow \infty$  で  $w(z) \rightarrow 0$  の条件を用いている。さらにこの条件より

$$\varepsilon_j(-\infty) = 0 \quad (5)$$

(2), (4) 式から

$$\frac{c U_0}{2B} = - \int_0^1 \frac{z-1}{q_w} dz + \int_1^a \frac{z-1}{q_w} dz, \quad q_w \equiv \exp[-\text{Re}[w(z)]] \quad (6)$$

ただし  $\text{Re}[\ ]$  は  $[\ ]$  の実部。(1)式からジェット膜の形状に関する基礎式は 
$$\frac{d\varepsilon_j}{dz} = -\frac{1}{C_j} \frac{2B}{c U_0} (z-1) \left[ \frac{1}{q_j} - q_j \right], \quad q_j \equiv \exp[-\text{Re}[w(z)]]_{z=z} \quad (7)$$

(5) 式の条件と (7) 式を考へると  $d\varepsilon_j/d\xi|_{\xi \rightarrow \infty} = 0$  である。従

$$\rightarrow \tau, \quad - \int_1^a \frac{d\nu}{\sqrt{a-\nu}} + \frac{\alpha}{\pi} \int_0^a \frac{d\nu}{\sqrt{a-\nu}} + \frac{1}{\pi} \int_{-\infty}^0 \frac{\varepsilon_j(\nu)}{\sqrt{a-\nu}} d\nu = 0 \quad (8)$$

### 3. 線形理論

$\alpha$  と  $\tau$  を微少量とし, これらの 2 次以上の微少量を省略す

$$\varepsilon_j(\xi) \equiv \alpha f_\alpha(\xi) + \tau f_\tau(\xi) + O(\alpha^2, \alpha\tau, \tau^2), \quad f_\alpha(0) = f_\tau(0) = 1 \quad (9)$$

と置くと, (6), (7), (8) 式から

$$\frac{df_\alpha}{d\xi} = -\frac{4}{C_j} \frac{\sqrt{1-\xi}}{\pi} \left[ \int_0^1 \frac{\sqrt{1-\nu}}{\nu-\xi} d\nu + \int_{-\infty}^0 \frac{\sqrt{1-\nu} f_\alpha(\nu)}{\nu-\xi} d\nu \right] \quad (10)$$

$$\frac{df_\tau}{d\xi} = -\frac{4}{C_j} \frac{\sqrt{1-\xi}}{\pi} \int_{-\infty}^0 \frac{\sqrt{1-\nu} f_\tau(\nu)}{\nu-\xi} d\nu \quad (11)$$

Carleman-Betz の反転公式を用いると, 上式は

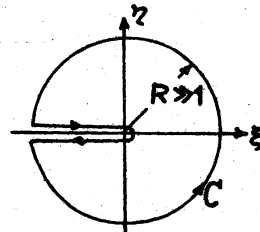
$$f_\alpha(\xi) = \frac{1}{\pi} \frac{\sqrt{-\xi}}{\sqrt{1-\xi}} \left[ \int_0^1 \frac{\sqrt{1-\nu}}{\nu} \frac{d\nu}{\nu-\xi} + \frac{C_j}{4} \int_{-\infty}^0 \frac{f'_\alpha(\nu) d\nu}{\sqrt{-\nu(1-\nu)(\nu-\xi)}} \right] \quad (12)$$

$$f_\tau(\xi) = \frac{C_j}{4\pi} \frac{\sqrt{-\xi}}{\sqrt{1-\xi}} \int_{-\infty}^0 \frac{f'_\tau(\nu) d\nu}{\sqrt{-\nu(1-\nu)(\nu-\xi)}} \quad (13)$$

$$\text{今 } z = \xi, \quad F(z) \equiv \frac{\lambda}{2\pi} \int_{-\infty}^0 \frac{\alpha f'_\alpha(\nu) + \tau f'_\tau(\nu)}{\sqrt{-\nu(1-\nu)(\nu-z)}} d\nu, \quad \lambda \equiv \frac{C_j}{4}$$

と定義する。図 5 の積分路  $C$  を考へると,

$$\oint_C z [F(z)]^2 dz = 0 \quad \text{である。これと (12),} \quad \text{図 5. 積分路 } C$$



(13)式とを用いると

$$(\alpha A_\alpha + \tau A_\tau)^2 = \frac{\pi}{\lambda} (\alpha + \tau)^2 - \frac{2\pi}{\lambda} \alpha (\alpha + \tau) + \frac{2\pi}{\lambda} \alpha (\alpha B_\alpha + \tau B_\tau),$$

$$A_{\alpha, \tau} \equiv \int_{-\infty}^0 \frac{f_{\alpha, \tau}'(\nu)}{\sqrt{-\nu(1-\nu)}} d\nu, \quad B_{\alpha, \tau} \equiv \int_{-\infty}^0 \sqrt{\frac{-\nu}{1-\nu}} f_{\alpha, \tau}'(\nu) d\nu \quad (14)$$

従って、

$$A_\alpha^2 = -\frac{\pi}{\lambda} + \frac{2\pi}{\lambda} B_\alpha, \quad A_\alpha A_\tau = \frac{\pi}{\lambda} B_\tau, \quad A_\tau^2 = \frac{\pi}{\lambda} \quad (15)$$

一方、揚力係数  $C_L$  は

$$C_L \equiv \frac{1}{c} \int_0^c C_p dx + C_j (\alpha + \tau), \quad C_p = 1 - q_w^2$$

$$\therefore C_L \equiv \frac{\pi}{2} \alpha + \frac{C_j}{2} (\alpha A_\alpha + \tau A_\tau) + C_j (\alpha B_\alpha + \tau B_\tau) \equiv \alpha C_{L\alpha} + \tau C_{L\tau}$$

(15)式から  $C_{L\alpha}$ ,  $C_{L\tau}$  の間には

$$C_{L\tau}^2 = -C_j^2 + 2C_j C_{L\alpha}, \quad C_{L\tau} = 2\sqrt{\pi C_j} \left( \frac{1}{2} + \frac{C_j}{4\pi} A_\alpha \right) = 2\sqrt{\pi C_j} \lim_{\xi \rightarrow -\infty} (-\xi f_\alpha). \quad (16)$$

このように、 $f_\alpha$  の  $\xi \rightarrow -\infty$  での性質がわかれば  $C_{L\tau}$  が求まり、従って  $C_L$  を求めることが出来る。そこで  $f_\alpha$  が  $C_j \ll 1$  と  $C_j \gg 1$  の場合、 $C_j/4$  及び  $\omega \sqrt{4/C_j}$  を微少量とする摂動法によつて、(10)式又は(12)式を以下に解いてみる。

#### 4. $f_\alpha(\xi)$ の $C_j$ による漸近展開

4-1.  $C_j \ll 1$  の場合、 $\varepsilon \equiv C_j/4$ .

$$\xi \equiv -x, \quad 1 + \bar{F}(x) \equiv f_\alpha(\xi)/\sqrt{1-\xi} \text{ と置くと, } \bar{F}(0) = 0, \bar{F}(\infty) = 1.$$

又 (12) 式は,  $(1+x)^2 \bar{F}(x) = (1+x) \left[ \sqrt{1+x} - 1 - x - \sqrt{x} \right] + \frac{\varepsilon}{\pi} \sqrt{x} (1+x) \left[ \frac{G(x)}{2x} - \frac{K}{2x} \right.$

$$\left. + \frac{d}{dx} G(x) \right] + \frac{\varepsilon}{2\pi} \sqrt{x} G(x) - \frac{\varepsilon}{2\pi} \sqrt{x} G_0 - \frac{\varepsilon}{2} \sqrt{x}, \quad G(x) \equiv \int_0^{\infty} \frac{\bar{F}(t) dt}{\sqrt{t}(t-x)}, \quad K \equiv G(0), G_0 \equiv G(-1), \quad (17)$$

この (17) 式の解  $\bar{F}(x)$  は  $x = O(\varepsilon)$  付近の解を内部解,  $x = O(1)$  付近の解を外部解とし, 夫々別々に解を求め Van Dyke のマッチングにより解の接続を行う。この際, 内部解を求めるとき,  $0(\mu) < x$  に対する  $\bar{F}(x)$  を未定関数, 外部解を求めるとき  $x < 0(\Delta)$  に対する  $\bar{F}(x)$  を未定関数と仮定する。ただし  $0(\varepsilon) < 0(\Delta) < 0(\mu) < O(1)$  である。

#### 4-1.1. 内部解

内部変数  $\bar{x}$  を  $\bar{x} = x/\varepsilon$  とし, 内部解を  $F^i(\bar{x})$  とする。Spence<sup>(6)</sup>

より 
$$F^i(\bar{x}) \equiv \sum_{n=0}^{\infty} B_n \tilde{F}_n^i(\bar{x}), \quad \tilde{F}_n^i(\bar{x}) \equiv \frac{1}{2\pi i} \int_{c-i\infty}^{c+i\infty} \bar{x}^{n+1-s} F_n(s) ds, \quad 0 < c < \frac{1}{2}. \quad (18)$$

外部解との共通領域  $0(\Delta) < x < 0(\mu)$  で, 内外部解が接続される。

この領域での  $\bar{F}$  は,  $\bar{F}(0) = 0$  と  $\bar{F}(\infty) = 1$  の条件を考へるとき

$\varepsilon$  に対しせいぜい  $O(1)$  であろう。  $\therefore B_n \leq O((\varepsilon/\mu)^{n+1/2})$ . (19)

$$\text{次に, } \int_0^x \frac{\bar{F}(t) dt}{\sqrt{t}(t-\varepsilon\bar{x})} = \frac{1}{\sqrt{\varepsilon}} \left[ \sum_{n=0}^{\infty} B_n \bar{x}^{n+1} \int_0^{\mu/\varepsilon} \frac{\bar{x}^{-n-1} \tilde{F}_n^i(\bar{x})}{\sqrt{\bar{x}(\bar{x}-\bar{x})}} d\bar{x} + \sum_{n=0}^{\infty} B_n \sum_{k=0}^n \bar{x}^{n-k} \int_0^{\mu/\varepsilon} \frac{\bar{x}^{-n-1+k} \tilde{F}_n^i(\bar{x})}{\sqrt{\bar{x}}} d\bar{x} \right],$$

$$\int_0^{\infty} \frac{\bar{F}(t) dt}{\sqrt{t}(t-\varepsilon\bar{x})} = \frac{1}{\sqrt{\mu}} \int_1^{\infty} \frac{\bar{F}(\mu t)}{t\sqrt{t}} \left[ 1 + \left( \frac{\varepsilon\bar{x}}{\mu} \right) \frac{1}{t} + \dots \right] dt = \frac{1}{\sqrt{\mu}} \sum_{n=0}^{\infty} \bar{A}_n \left( \frac{\varepsilon\bar{x}}{\mu} \right)^n.$$

を用いると, (17) 式で定義された  $G(x)$  は

$$G(\bar{x}) = \frac{1}{\sqrt{\varepsilon}} \left[ \sum_{n=0}^{\infty} B_n \bar{x}^{n+1} \int_0^{\infty} \frac{\bar{x}^{-n-1} \hat{F}_n^i(\bar{x})}{\sqrt{\bar{x}(\bar{x}-\bar{x})}} d\bar{x} + \sum_{n=0}^{\infty} C_n \left( \frac{\varepsilon \bar{x}}{\mu} \right)^n + \sqrt{\frac{\varepsilon}{\mu}} \sum_{n=0}^{\infty} \bar{A}_n \left( \frac{\varepsilon \bar{x}}{\mu} \right)^n \right]$$

ただし  $C_n$  は  $\hat{F}_n^i$  ( $n=0, 1, \dots$ ) によって決まる常数であり,  $\bar{A}_n$  は未定関数  $F(x)$  ( $x > 0(\mu)$ ) によって定まるので, 未定常数と考えられる. ここで  $C_n \leq O(\sqrt{\varepsilon/\mu})$  であれば  $C_n$  は  $\bar{A}_n$  に含めることが出来るが, 今一度  $C_n$  も未定常数と仮定する. 従って,

$$G(\bar{x}) = \frac{1}{\sqrt{\varepsilon}} \left[ \sum_{n=0}^{\infty} B_n \bar{x}^{n+1} \int_0^{\infty} \frac{\bar{x}^{-n-1} \hat{F}_n^i(\bar{x})}{\sqrt{\bar{x}(\bar{x}-\bar{x})}} d\bar{x} + \sum_{n=0}^{\infty} A_n \left( \frac{\varepsilon \bar{x}}{\mu} \right)^n \right], \quad A_n: \text{未定常数}, \quad (20)$$

従って,

$$A_n \leq O\left(\sqrt{\frac{\varepsilon}{\mu}}\right) \quad (21)$$

であれば上述の仮定が妥当である. この (20) 式を (17) 式に代入し,  $\hat{F}_0^i, \hat{F}_1^i, \dots$  を求めると次のように得られる.

$$B_0 = \sqrt{\varepsilon}, \quad F_0(s) = \frac{D}{s-1} F_0(s), \quad D = \frac{\sqrt{\pi}}{2} \left[ 1 + \frac{\varepsilon}{2} + \frac{\sqrt{\varepsilon}}{\mu} \bar{A}_1 + \frac{\varepsilon K}{2\pi} + \frac{\varepsilon G_0}{2\pi} \right], \quad (22)$$

$$B_1 = \varepsilon B_0 D, \quad B_1 \bar{B}_1 = -\frac{\varepsilon}{2}, \quad F_1(s) = \frac{A^0(s) F_0(s)}{(s-1)(s-2)} + \frac{\bar{B}_1}{s-2} F_0(s-1),$$

ただし,  $\bar{A}_1, \bar{A}_2$  は  $A_1, A_2$  と  $\mu A_1$  の一次式で,  $A^0(s)$  は

$$A^0(s+1) = A^0(s) - s + \frac{1}{2}, \quad A^0\left(\frac{1}{2}\right) = 3 - \frac{3\sqrt{\pi}}{4} \left[ \left(\frac{\varepsilon}{\mu}\right)^2 \frac{\bar{A}_2}{B_1} + \frac{\varepsilon\sqrt{\varepsilon}}{B_1} \right]$$

を満足する  $s$  の多項式である. 又 (19), (22) 式から

$$\mu \leq O(\varepsilon^{1/3}) \quad (24)$$

(22)式で用いられた  $F_0(s)$  は Spence<sup>(6)</sup> によつて導入されたもの

$$F_0(s) = \Gamma(s) G_0(s), \quad G_0(s) = \frac{1}{\sqrt{\pi}} \frac{\Gamma(1-s)\Gamma(3/2+s)}{\Gamma(1+s)\Gamma(1/2-s)}, \quad G: \text{Alexeivskiの } G$$

#### 4-1.2. 外部解

外部変数を  $x = \chi$  とし, 外部解を  $\bar{F}^0(x)$  とする. 基礎式(17)の  $G(x)$  を求めるとき, 外部解の  $\chi \ll 1$  の性質が重要である.

一般に,  $\chi < 1$  に対し

$$\bar{F}^0(x) = \sum_{n=0}^{\infty} D_n \chi^{-n} \tilde{F}_n^0(x); \quad 0(x) < \tilde{F}_n^0 \leq O(\log^p x), \quad x \rightarrow 0$$

$p: \text{正の整数} \quad (25)$

と表わすことが出来よう. 解の接続を考えるとき

$$D_n \leq O(\Delta^n) \quad (26)$$

ここで, 以下の積分を利用して  $G(x)$  を求める.

$$\int_0^{\Delta} \frac{\bar{F}(t)}{\sqrt{t(t-x)}} dt = -\frac{\sqrt{\Delta}}{\chi} \sum_{n=0}^{\infty} E_n \left(\frac{\Delta}{\chi}\right)^n; \quad E_n: \text{未定常数},$$

$$\int_{\Delta}^1 \frac{\bar{F}(t) dt}{\sqrt{t(t-x)}} = \sum_{n=0}^{\infty} \frac{D_n}{\chi^n} \int_0^1 \frac{\tilde{F}_n^0(t) dt}{\sqrt{t(t-x)}} + \frac{\sqrt{\Delta}}{\chi} \sum_{n=0}^{\infty} \bar{C}_n \left(\frac{\Delta}{\chi}\right)^n; \quad \bar{C}_n: \tilde{F}_n^0 (n=0, 1, \dots) \text{により定まる常数}.$$

従つて,  $\bar{C}_n$  は  $E_n$  に含まれると考えられ, これを  $C_n$  とすると,

$$G(x) = \sum_{n=0}^{\infty} \frac{D_n}{\chi^n} \int_0^1 \frac{\tilde{F}_n^0(t) dt}{\sqrt{t(t-x)}} + \int_1^{\infty} \frac{\bar{F}^0(t) dt}{\sqrt{t(t-x)}} + \frac{\sqrt{\Delta}}{\chi} \sum_{n=0}^{\infty} C_n \left(\frac{\Delta}{\chi}\right)^n \quad (27)$$

この(27)式を(17)式に代入すれば,  $\varepsilon$  に対する漸近解が得ら

れる.  $\bar{F}^0(x)$  の第1, 2近似を  $\bar{F}_0^0(x), \bar{F}_1^0(x)$  とすると



$$\bar{F}_0(x) = \frac{\sqrt{1+x} - 1 - x - \sqrt{x}}{1+x},$$

$$\bar{F}_1(x) = \frac{\varepsilon}{\pi} \frac{\sqrt{x}}{1+x} \left[ \frac{G_0(x)}{2x} + \frac{d}{dx} G_0(x) \right] + \frac{\varepsilon \sqrt{x}}{2\pi} \frac{G_0(x)}{(1+x)^2} - \frac{\varepsilon \sqrt{x}}{2(1+x)^2} - \frac{\varepsilon \sqrt{x}}{2\pi} \frac{G_{\infty}}{(1+x)^2}$$

$$- \frac{\varepsilon K_0}{2\pi} \frac{1}{\sqrt{x}(1+x)}, \quad G_0(x) \equiv - \frac{1}{\sqrt{x}(1+x)} \log \left[ \frac{\sqrt{1+x} + \sqrt{x}}{\sqrt{1+x} - \sqrt{x}} \right] + \frac{\log x}{1+x}.$$

ただし  $K_0, G_{\infty}$  は  $K$  と  $G_0$  のオ1近似である。

#### 4-1.3. 解の接続

ここで、オ2近似までの外部解を内部変数で漸近展開した後、外部変数で書き直したものを  $\bar{F}^{oi}$  とし、内部解を外部変数で漸近展開したものを  $\bar{F}^{io}$  とする。(28)式から

$$\bar{F}^{oi} \equiv -\frac{x}{2} - \sqrt{x} + x\sqrt{x} - \frac{\varepsilon K_0}{2\pi} \frac{1}{\sqrt{x}} - \frac{\varepsilon}{\pi} \left( -\frac{K_0}{2} + \frac{\pi}{2} + \frac{G_{\infty}}{2} \right) \sqrt{x} + \frac{\varepsilon}{2\pi} \frac{\log x}{\sqrt{x}} - \frac{3\varepsilon \sqrt{x}}{2\pi} \log x, \quad (29)$$

$$\text{又 (22) 式から } \bar{F}^{io} \approx \frac{\sqrt{\varepsilon}}{2} \left[ -2 \left( \frac{x}{\varepsilon} \right)^{1/2} (1 + \sqrt{\varepsilon} D_1 + \varepsilon D_2) + \frac{1}{\pi} \left( \frac{\varepsilon}{x} \right)^{1/2} (\log 4 + \gamma + 1 + \log x \right.$$

$$\left. - \log \varepsilon \right) (1 + \sqrt{\varepsilon} D_1) \Big] + \frac{\varepsilon \sqrt{\varepsilon}}{2} \left[ \frac{4}{3} A_0 \left( \frac{1}{2} \right) \left( \frac{x}{\varepsilon} \right)^{3/2} + \frac{2}{\pi} \left( \frac{x}{\varepsilon} \right)^{1/2} \left\{ A_0' \left( \frac{3}{2} \right) + A_0 \left( \frac{3}{2} \right) (1 - \log 4 \right. \right.$$

$$\left. \left. - \gamma - \log x + \log \varepsilon \right\} \right] - \frac{\varepsilon}{2} \left[ \frac{x}{\varepsilon} - 2 \left( \frac{x}{\pi \varepsilon} \right)^{1/2} + \frac{1}{\pi} \left( \frac{\varepsilon}{\pi x} \right)^{1/2} (1 + \log 4 + \gamma + \log x - \log \varepsilon) \right], \quad (30)$$

ただし  $A_0(s)$  は  $A_0(s)$  のオ1近似で、

$$\sqrt{\varepsilon} D_1 + \varepsilon D_2 = \varepsilon/2 + \sqrt{\varepsilon} \bar{A}_1/\mu + \varepsilon K/2\pi + \varepsilon G_0/2\pi \quad \text{である。}$$

この(29), (30)式が恒等的に等しくなるためには

$$D_1 = \frac{1}{\sqrt{\pi}}, \quad D_2 = \frac{1}{\pi} \left( -\frac{K_0}{2} + \frac{\pi}{2} + \frac{G_{00}}{2} \right) + \frac{1}{\pi} \left[ A_0' \left( \frac{3}{2} \right) + A_0 \left( \frac{3}{2} \right) (1 - \log 4 - \gamma + \log \varepsilon) \right], \quad (31)$$

$$A_0 \left( \frac{1}{2} \right) = \frac{3}{2}, \quad A_0 \left( \frac{3}{2} \right) = \frac{3}{2}, \quad K_0 = -\log 4 - \gamma - 1 + \log \varepsilon.$$

従って 
$$\bar{A}_1 = \sqrt{\pi} + \frac{\sqrt{\varepsilon}}{\pi} \left[ K_0 + A_0' \left( \frac{3}{2} \right) + A_0 \left( \frac{3}{2} \right) (1 - \log 4 - \gamma + \log \varepsilon) \right],$$

又 
$$A_0 \left( \frac{1}{2} \right) = \frac{3}{2} \quad \text{より}, \quad \bar{A}_2 < 0 \left( \frac{\mu^2}{\sqrt{\varepsilon}} \right). \quad (21) \text{ 式 から } 0(\varepsilon^{2/5}) < \mu \leq 0(\varepsilon^{1/3}). \quad (32)$$

又(23)式から  $A_0(3/2) = 3/2$  が求まり,  $K_0$  はオ1近似の合成解 (composite solution) を用いると

$$K_0 \equiv \int_0^\infty \frac{\bar{F}(t)}{t\sqrt{t}} dt \equiv B_0 \int_0^\varepsilon \frac{\tilde{F}_0^i(t)}{t\sqrt{t}} dt + \int_\varepsilon^1 \frac{B_0 \bar{F}_0^i(t) + \bar{F}_0(t) - \bar{F}_0^{oi}(t)}{t\sqrt{t}} dt + \int_1^\infty \frac{\bar{F}_0(t)}{t\sqrt{t}} dt$$

$\equiv -1 + \log \varepsilon - \gamma - \log 4 \quad \text{となり (31) 式と一致する.}$

#### 4-1.4. 揚力係数

(16)式から  $C_{LT}$  を求めると 
$$C_{LT} = 2\sqrt{\pi\varepsilon} \left[ 1 - \frac{\varepsilon K_0}{\pi} - \frac{\varepsilon G_0}{\pi} - \varepsilon \right].$$

$K_0$  のオ1近似は求められっているので,  $G_0$  をオ1近似の合成解を用いて求めると,  $G_0 \equiv 1 - \pi$ . 従って

$$C_{LT} \approx 2\sqrt{\pi\varepsilon} \left[ 1 - \frac{\varepsilon}{\pi} \log \varepsilon + \frac{\varepsilon}{\pi} (\gamma + \log 4) + \dots \right] \quad (33)$$

4.2.  $C_j \gg 1$  の場合,  $\varepsilon^2 \equiv 4/C_j$

$\xi \equiv -1/X$ ,  $f_\alpha(\xi) \equiv \sqrt{X/(X+1)} F(X)$  とおくと, 基礎式 (10) より

$$(1+X)X^3 \frac{dF}{dX} + \frac{X^2}{2} F = -\frac{\varepsilon^2}{\pi} (1+X)^2 \left[ X \int_0^\infty \frac{F(t) dt}{t(t-X)} - 2 - \sqrt{\frac{X+1}{X}} \log \left\{ \frac{\sqrt{X+1} - \sqrt{X}}{\sqrt{X+1} + \sqrt{X}} \right\} \right]. \quad (34)$$

ただし  $F(0) = 0$ ,  $F(\infty) = 1$  である.  $\varepsilon \ll 1$  の場合と同様に, 内・外部解を求め解の接続を行えばよい. 以上得られた結果を示すと次のようになる.

外部解: 
$$F^o(X) = \sqrt{\frac{1+X}{X}} - \frac{\varepsilon^2}{\pi} \sqrt{\frac{1+X}{X}} \int^X \sqrt{\frac{1+X}{X}} \frac{1}{X^2} \left[ B_0 - 2\sqrt{2} - \log \left( \frac{\sqrt{2}-1}{\sqrt{2}+1} \right) \right] dX + O(\varepsilon^4).$$

ただし,  $B_0$  は未定常数である.

内部解: 
$$F^i(\bar{X}) = \frac{1}{\sqrt{\varepsilon}} \left[ F_0^i(\bar{X}) + \varepsilon F_1^i(\bar{X}) + \varepsilon^2 F_2^i(\bar{X}) + O(\varepsilon^3) \right]$$

$$F_n^i(\bar{X}) \equiv \frac{1}{2\pi i} \int_{c-i\infty}^{c+i\infty} \bar{X}^{n-s} F_n(s) ds, \quad -\frac{1}{2} < c < 0,$$

ただし,  $F_0(s) = a_0 P(s) F_1(s)$ ,  $F_1(s) = s F_0(s)$ ,  $F_2(s) = R(s) F_0(s)$ ,

$$P(s) = (\sqrt{2})^s \frac{\Gamma(\frac{1}{2}s + \frac{1}{4})}{\Gamma(s + \frac{1}{2})}, \quad R(s) = \frac{1}{2} (s - \frac{1}{2})(s + a) - \frac{1}{8}, \quad F_1(s) = \frac{Q_0(s-1)}{\cos \pi s},$$

$$Q_0(s) \equiv \frac{\Psi(-\frac{1}{2} - \frac{s}{2}) \Psi(\frac{1}{4} + \frac{s}{2})}{\Psi(\frac{s}{2}) \Psi(-\frac{3}{4} - \frac{s}{2})}, \quad \Psi(s) \equiv \frac{G(1-s)}{G(1+s)}, \quad G: \text{Alexeivski の } G,$$

又  $a_0, a$  は未定常数である. 解の接続により

$$a_0 = \pi / [P(1/2) Q_0(-1/2)], \quad a: \text{未定 と なる.}$$

従って,  $C_{LT}$  は 
$$C_{LT} = \frac{4\sqrt{\pi}}{\varepsilon} \lim_{x \rightarrow 0} \frac{F(x)}{\sqrt{x}} \cong C_j \quad (35)$$

5. 数値結果と考察

図6は  $C_j \ll 1$  の場合のジェット膜の形状  $\bar{F}(x)$  を示している。  $\bar{F}^i(x)$  は Mellin 逆変換により  $\bar{x} > 1$  と  $\bar{x} < 1$  について夫々中展開式として求められるが, この図の  $\bar{F}^i$  は2項まで展開したものの数値結果である。

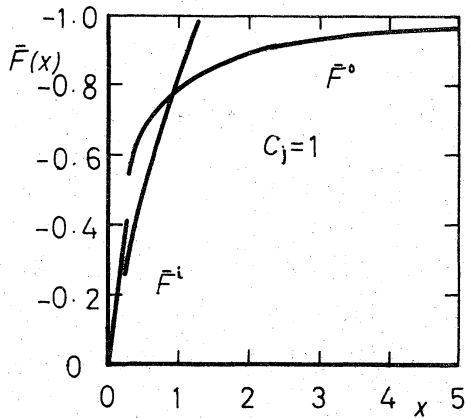


図6. ジェット膜の形状

図7は  $Ho^{(4)}$  の結果 (図式から読取った) と本報の結果とを示した。  $Ho$  の結果は  $C_j$  の大きい所で少々大きい値を示しているのではないかとと思われる。  $C_j \gg 1$  の場合,  $C_{LT} \cong C_j$  であるので  $\partial C_{LT} / \partial C_j \rightarrow 1 (C_j \rightarrow \infty)$  でなければならぬが,  $Ho$  の結果は  $\partial C_{LT} / \partial C_j > 1$  のようである。

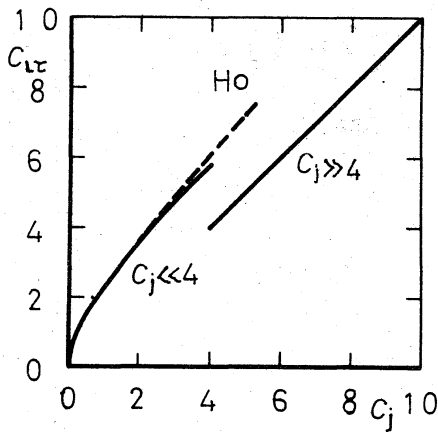


図7.  $C_{LT}$  と  $C_j$

表1は  $Ho$  の結果との比較をより明らかにするため示したものである。

表1.  $C_{LT}$  の比較

$C_j$	Eq.(33)	$Ho^{(4)}$ の結果
0.1	0.586	0.581
0.3	1.076	1.033
0.5	1.455	1.499
0.8	1.946	1.981
1.0	2.245	2.287

以上の結果, 揚力係数の  $C_j$  によ

る漸近展開式が求められ、Hoの結果と比較して妥当な漸近式であることがわかった。勿論、本報の方法、結果を用いて  $f_c(\xi)$  や不連続自由流線の形状、翼下面の速度分布 ( $C_p$  分布) も求めることが出来る。

#### 6. 参考文献

- (1). Spence, D.A.; Proc. Roy. Soc., A, Vol. 238, 1956, p. 46.
- (2). Maskell, E.C., Spence, D.A.; Proc. Roy. Soc., A, Vol. 251, 1959, p. 407.
- (3). Tokuda, N.; J. Fluid Mech., Vol. 46, 1971, p. 705.
- (4). Ho, H.T.; Trans. ASME, D, Vol. 86, 1964, p. 851.
- (5) 大場, 樋口; 日本機械学会講演論文集 No. 720-4, 1972, p. 157.
- (6) Spence, D.A.; Proc. Roy. Soc., A, Vol. 261, 1961, p. 97.